

347178

中国科学院地球物理研究所

中国夏季副热带天气系统 若干问题的研究

陶詩言等著

科学出版社

中国科学院地球物理研究所

中国夏季副热带天气系統 若干問題的研究

陶詩言等著

科学出版社

1963

內 容 簡 介

本文集是作者近五年来，对我国夏季副热带天气系統中的三个主要問題——台风、暴雨和副热带高压的研究總結。全文集共包括七篇論文。

有关台风方面，作者論述了西太平洋台风活动与大气环流的关系，分析了影响我国沿海岸地区的台风路径，并探討了台风路径与海水溫度以及1000—500毫巴厚度場的关系。有关暴雨方面，研究了长江中上游暴雨的短期預報問題，并对湖北省东部的大暴雨作了个例分析。对于副热带高压，主要分析了东亚夏季副热带高压活動的气候学与天气学特征，并对我国大陆上副热带高压北进的三維結構及其机制作了分析研究。

台风、暴雨和副热带高压的活動，是我国夏季天气預報中的重要問題。作者通过对这三类天气系統的研究，提出了一些預報这些系統的方法，可供业务部門参考采用。同时，作者还分析研究了暴雨和副热带高压的三維結構和发展机制，这对于了解副热带天气和环流演变过程是有帮助的。此外，在研究中还发现了許多在副热带天气學中很有意思的現象。因此，本文集不但可供气象业务工作者参考，同时，亦可供气象研究工作者以及高等院校有关专业师生参考。

中国夏季副热带天气系統 若干問題的研究

陶詩言等著

*

科学出版社出版 (北京朝阳門大街117号)
北京市书刊出版业营业登记证字第061号

中国科学院印刷厂印刷 新华书店总經售

*

1963年11月第一版 书号：2399 字数：194,000
1963年11月第一次印刷 开本：787×1092 1/16
(京)0001—3,000 印张：9 1/2

定价：1.30 元

目 录

前言	(1)
西太平洋台风活动頻数与大气环流的联系	陶詩言 董克勤 (2)
影响我国沿海岸地区的几类台风路径	陶詩言 章名立 (20)
东亚台风路径与海水温度分布以及 1000—500 毫巴厚度場的关系
	陶詩言 章名立 呂玉芳 (49)
长江中上游暴雨短期預報的研究	陶詩言等 (59)
1959 年 6 月 8—9 日湖北省东部的大暴雨分析	张錫福 王作述 (78)
夏季中国大陆及其邻近海面副热带高压活动的天气学研究
	陶詩言 朱福康 吳天棋 (106)
夏季中国大陆上副热带高压北进时的三維結構及其机制的个例分析
	瞿 章 潘菊芳 (124)

前　　言

台风、暴雨和副热带高压的活动是影响我国夏季天气的重要系統；一次強台风或暴雨的侵襲常常給人們带来严重的損害，而副热带高压有时候长期稳定在中国大陆上，就会引起我国夏季的干旱天气。因此，关于这三种天气系統的发生和发展的預報，是我国广大天气預報工作者最关心的問題。在目前，除台风的預報方法以外，有关暴雨和副热带高压活動的預報，在国内外都研究得甚少。有些适用于中高緯度的暴雨預報方法，在我国副热带地区就并不适用。而副热带高气压的活動在北緯 40° 以南，它是副热带地区的天气系統，但是有关副热带的天气分析和預報問題，目前在天气学上研究得还不多，有很多問題尚有待进一步研究。因此这三种天气系統都是天气学上的重要問題，亦是我国夏季天气預報上的重要問題。

最近五年来，我們对这三种系統作了一些研究，研究的重点就是要求对这三类系統給出短期或中期預報的方法，同时对副热带高压和暴雨的三維結構及其发展机制也作了分析。本文集就是这个研究的总结。

关于台风的研究，包括三部分：第一部分是研究台风活動与大气环流的关系，我們分析了西太平洋台风活動的季节变化，及其与北半球大气环流季节变化的关系。另外，从不同年份的夏季同一个月台风出現最多和最少的情况，研究它們与北半球以及南半球大气环流的联系；同时初步提出了关于台风頻數月預報的方法。第二部分工作，对影响我国沿海岸地区的几类台风路径与东半球的长波型式，以及500毫巴五天平均高度距平型式的关系作了分析，其中对沿海威胁最严重的两类路径作了詳細的研究。第三部分工作研究了台风路径与海水溫度場和1000—500毫巴厚度場上暖舌軸綫的联系，并得出暖舌軸綫对短期台风路径有牵引作用。

暴雨的研究是針對长江中上游地区的。我們提出了长江中上游地区暴雨短期預報的一个初步方法，可供預報业务部門参考。同时，对长江中上游暴雨发生的机制也作了个例分析。通过这个分析，我們發現了夏季副热带大陸上許多在天气学上有意思的事实。

关于副热带高压的研究，包括二部分。第一部分对中国大陸上副热带高压活動的天气学特征和气候学特征，以及副热带高压进退与北半球副热带范围内长波型式的調整关系进行了研究，并提出关于副热带高压进退預報的一些着眼点。第二部分对一次副热带高压北进過程的三維結構及其机制作了分析研究。

本文集的大部分研究工作是在三年前已經完成了的，在最后付印时，又作了一些修改。在研究过程中，中央气象局气象科学研究所董克勤、朱福康、吳天祺三位同志和我們合作參加了一部分工作，我們感謝他們的帮助。

西太平洋台风活动頻数与大气环流的联系*

陶詩言 董克勤**

提 要

本文根据 1952—1957 年北半球 500 毫巴的資料，从季节变化和年际变化的角度，分析了西太平洋台风活动的頻数与大范围环流特征之間的联系。研究指出，台风活动的頻数与北半球(甚至全球)的大气环流特征密切相关；在夏秋季节，台风活动频繁的月份，北半球盛行緯向环流；而台风活动稀少的月份，北半球經向环流显著。从少数例子的对比分析表明，南半球环流有相反的趋势。这些与台风活动有联系的环流特征，可由几个地区(关键区)的高度变化反映出来。作者組合中高緯地区四个关键区的高度距平，得出一个简单的表示环流特征与台风多少相关的 T. S. 指示数。分析的結果，无论在 T. S. 对于台风的长期預报方面或高低緯度大气环流之間联系的研究方面，均提供了一些可以参考的材料。

一、引 言

台风的发生、发展是我国夏季天气分析預报的重要課題之一。E. 帕尔門(Palmén)^[1]首先发现，热带气旋¹⁾的发生与海面水温有密切关系，热带气旋皆发生于海水温度高于 26° — 27°C 的区域。同时，从許多关于台风发生問題的研究表明，台风或颶风的发生都与大尺度的环流有一定联系。H. 銳尔(Riehl)^[2]認為，在热带气旋的发生、发展过程中，低空的扰动与高空东、西风带中系統的重迭起“引发作用”。J. 納米阿斯(Namias)^[3]認為，热带气旋发生在西风槽南緣的低緯度海洋上，可以用 5 天或月平均流型来預报有利于热带气旋发生的地区。E. M. 巴伦茲維格(Ballenzweig)^[4]指出，北大西洋颶风的活動与 700 毫巴高度偏距的型式有联系。E. 帕尔門^[5]指出，当热带气旋形成时，其上空基本气流的垂直切变很小。这說明热带气旋发生的区域距离高空副热带西风急流要很远。C. S. 賴馬棋(Ramage)^[6]发现，台风的活動和西太平洋上空基本气流的构造以及基本气流中的常定扰动有关。李宪之^[7]強調南半球的寒潮向澳洲的爆发，提供了西太平洋台风发生的外力条件。章基嘉^[8]曾計算了各年西太平洋台风活動的数目与各年中高緯度大型环流型的相关，发现其間的相关系数甚高。

本文也是討論西太平洋台风活動与大气环流的关系。其中包括三部分：一，多年平均台风活動頻数的季节变化与北半球大气环流季节变化的关系——即西太平洋台风活動的

* 本文初稿于 1958 年完成，1963 年又作了修飾和补充。

** 中央气象局气象科学研究所。

1) 热带气旋——台风、颶风等热带低气压系統的統称。

气候学特征；二，根据 1952—1957 年夏季台风多和台风少的月份，分析了北半球大气环流特征的差异；同时也分析了南半球大气环流的特点。三，初步提出一个在月平均环流形势预报的基础上，预报台风发生次数的指标数。这三方面的工作，对于认识西太平洋台风活动的特点，以及制作台风活动的中长期预报，都有一定的参考意义。

资料来源：

1. 1952—1957 年各月台风资料是取自日本发行的“气象要覽”，并根据我国中央气象科学研究所的地面天气图作了补充修改。

2. 有关台风活动的多年統計数据，取自高由禧、曾佑思編著的“台风路径及其一些統計”一书。

3. 半北球 500 毫巴多年平均高度数据全部依据陶詩言編制“北半球 500 毫巴月平均图”。

4. 1952—1957 年各月 500 毫巴高度資料有下列几方面来源：

1) 中央气象科学研究所的欧亚地区 500 毫巴月平均高度图及每日的北半球 500 毫巴形势图。

2) 世界气象组织出版的世界月平均气候資料。

3) 苏联出版的每天的 500 毫巴形势图。

4) 美国每月天气評論 (Monthly Weather review) 发表的美洲的 500 毫巴月平均形势图。

5) 日本发行的“北半球 500 毫巴等压面半旬平均值”一书。

以下文中所提到的环流形势皆針對 500 毫巴而言。

二、西太平洋台风活动頻数的季节变化与大气环流的关系

西太平洋台风的活动具有明显的季节变化。图 1 給出了 1844—1955 年(共 70 年)平均各月西太平洋台风发生次数

的分布曲線。从 1 月至 12 月各月皆有台风出現。其中以 2, 3 两月最少；在所統計的 70 年資料中，2 月总共出現过 3 次，3 月只出現过 7 次。7, 8, 9 三个月是台风活动最頻繁的季节，占全年总次数的 60% 以上。在这三个月中，平均每月皆超过三次以上。从曲線变化的趋势可以看出，由 2 月到 6 月随着季节变暖，台风数目增加甚緩；但从 6 月到 7 月台风的活动显著剧增；8, 9 月达到最多；从 9 月至 12 月台风的活动則近于等速地減少下去。

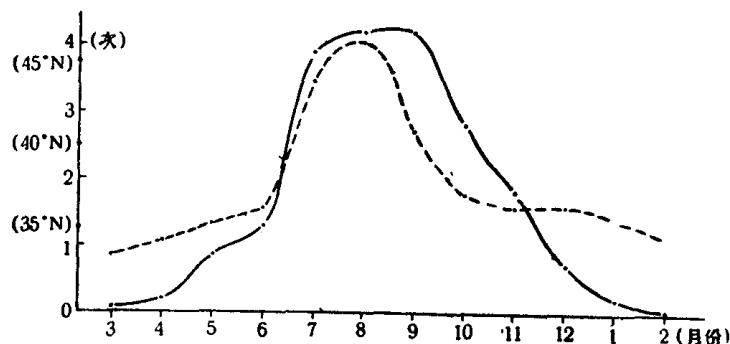


图 1 1844—1955 年平均各月台风发生次数分布曲線(实綫)
及太平洋地区(东經 120°—西經 120°) 平均 500 毫巴最大西
风的緯度分布(虚綫)

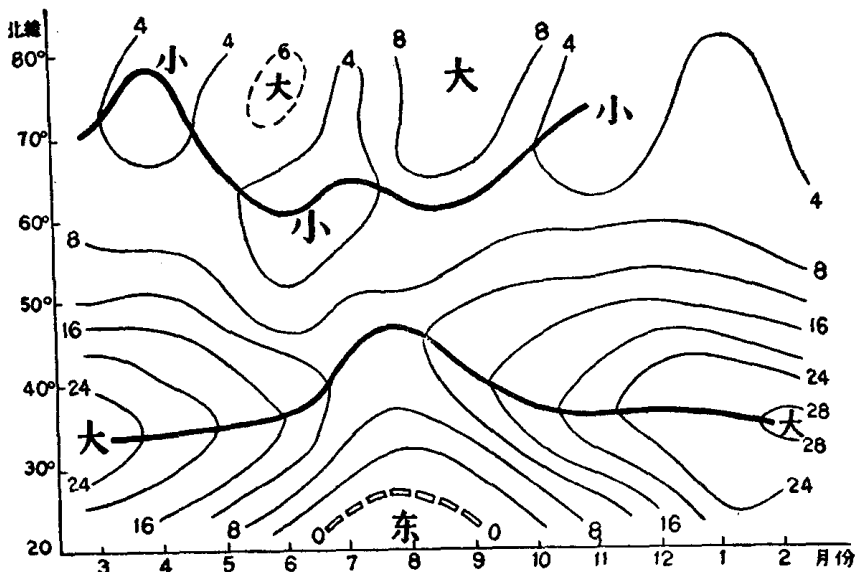


图 2 多年平均各月太平洋地区(东經 120° —西經 120°) 500 毫巴緯圈平均地轉風風速分布圖
(細線——等風速線,米/秒;粗線——最大風速或最小風速軸;斷線——東西風交界線)

多年平均各月台风的发生次数,与多年平均大气环流的季节变化有密切联系。图2表示了多年平均各月太平洋地区500毫巴纬圈平均地转风的风速分布。可以看出,太平洋地区500毫巴上空西风带位置、强度的季节变化与各月台风的活动有良好的对应关系(参见图1)。在1, 2, 3月份西风最强,其最大西风的位置亦最南。3月以后西风强度明显减弱;但在6月以前其最大西风位置仅稍微北移。6—7月最大西风(或急流)出现显著北跳的现象。8月急流位置达到最北,其强度亦最弱。9月以后西风带逐渐加强,急流又复迅速而逐渐(没有6—7月那样集中剧烈)随着季节南移。在西风带减弱北撤的季节,低纬度的东风扩张到较北的纬度。同时,在较高纬度存在着一最小西风,其位置的变化恰好与最大西风相反。

西风带发生季节变动的时候,北半球长波型式亦出现季节性的调整。图3表示1—12月中高纬度(北纬 45° — 65°)500毫巴平均高度随经度的分布,并显示出各月高空槽或脊的位置及其活动。从冬季到夏季最明显的变化是亚洲东海岸上空长波槽的东移。在5月以前,亚洲东海岸上空是低槽活动最频繁的地区。在6月以后,情况相反,亚洲东海岸上空成为高压脊活动较多的地区。低槽活动频繁的地区出现在太平洋中部。6月份恰好是上述季节性变化的过渡月。9月以后,长波型式又复调整到冬季的状况。这时亚洲东海岸上空又成为低槽活动最频繁的地区。如图4所示,在副热带范围(北纬 25° — 45°)内流型的季节性调整尤其明显。冬季流型与中高纬度类同,6月前后流型发生大调整。在副热带地区冬季是三个槽和脊,到7, 8, 9月出现六个槽和脊的系统(因缺低纬度资料,图的范围不包括全球,故图中只画出五个系统)。就东亚大陆和西太平洋区域而言,高空低槽活动最频繁的地区,冬季集中于亚洲东海岸。在夏季,高空低槽活动频繁的地区则分别处于东亚大陆和太平洋中部,而亚洲东海岸(东经 130° — 150°)却成为高压活动最多的区

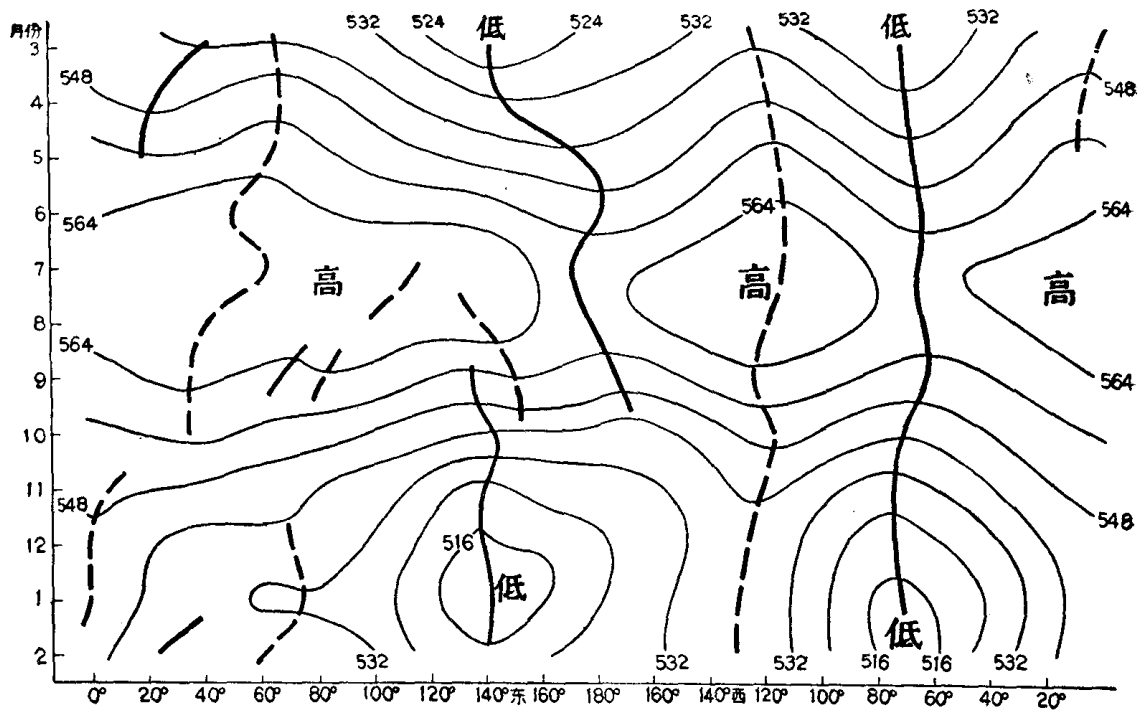


图3 多年平均各月中高緯度(北緯 45° — 65°) 500毫巴平均高度隨經度的分布
(細線——等高線,位勢什米;粗實綫——槽;粗斷綫——脊)

域。副热带地区流型恢复到冬季发生在10月以后，比中高纬度大致晚一个月，这可能与9月份高空西风急流比较偏南时，台风活动仍很频繁有联系，其理由将在以下说明。

据天气分析经验，自春入夏，西太平洋副热带高压脊线有两次“北跳”。6月以前500毫巴副热带高压脊线的位置在北纬 17° 左右，6月跳至北纬 20° — 25° 之间。6月下旬到

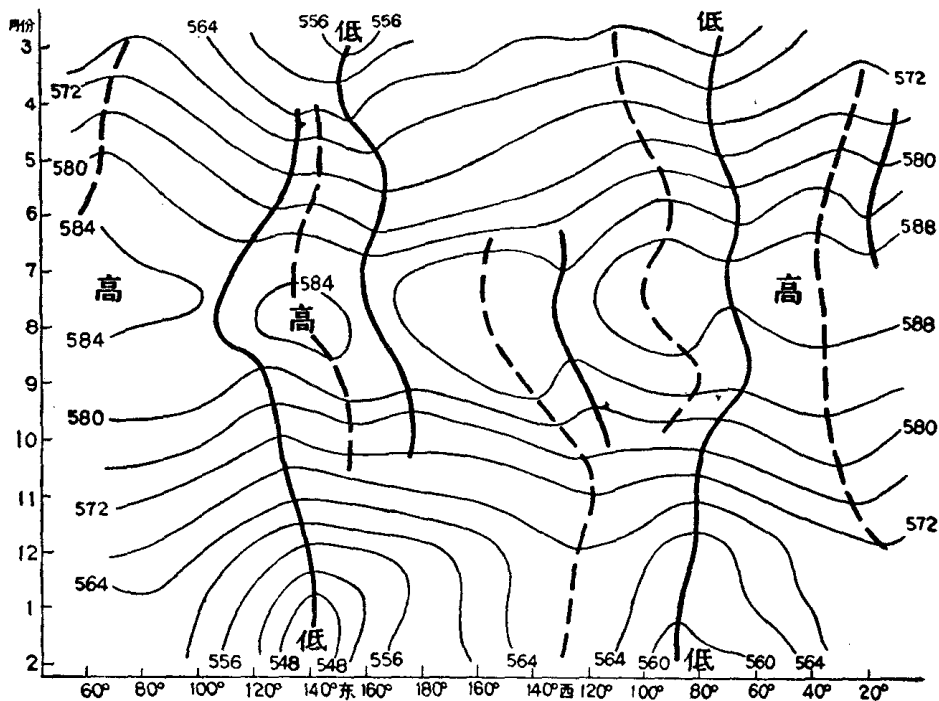


图4 多年平均各月中低緯度(北緯 25° — 40°) 500毫巴平均高度隨經度的分布
(說明同图3)

7月中发生一次最明显的“北跳”，副热带高压脊綫跳到北緯 30° 附近。这次明显的“北跳”与上述西风急流从6月到7月的显著“北跳”是同时发生的。副热带高压脊綫的北移伴随着赤道辐合区的北移。从7月份开始，西太平洋台风活动骤然频繁起来，7, 8, 9月成为台风发生最多的时期。北半球副热带地区长波系統的大調整，亦发生在6月到7月，7月份开始建了六个槽和脊的系統。9月份西风急流的位置开始南移，中高緯长波系开始向冬季調整，但副热带地区（其中特別是西太平洋部分）长波的調整要延迟到10月以后。同时，9月份副热带高压脊綫虽有南移，但赤道辐合区并未明显南撤。与此相联系，9月份西太平洋台风活动的頻数与8月一样多，且稍多于7月。10月以后，西风急流南移，长波型式恢复到冬季状况，西太平洋上副热带高压脊綫退居北緯 20° 以南，赤道辐合綫也撤退到赤道附近，这时太平洋上台风的活动大大減少了。由此可見，西太平洋台风活动頻数的变化与东亚大气环流的季节性变化特征有密切联系。

盛夏台风活动的頻繁，与下面几个有利于台风发生、发展的环流条件的存在有密切的联系。7, 8, 9月西太平洋上空副热带西风急流的平均位置在北緯 48° 或更偏北，因此热带西太平洋上空基本气流的垂直切变甚弱。这个条件是台风发生、发展的必要条件^[5]。此时，赤道辐合区的位置亦最偏北，容易使常常出現在辐合区的小扰动，加強气旋性涡度，在适当的条件下发展成热带气旋。另外，在太平洋中部，7月和8月在中高緯度和副热带緯度，以及9月在副热带緯度都維持一个稳定的高空低槽。在这个低槽和亚洲大陆上的低槽中間地帶，在北緯 25° 以北形成常定的西太平洋副热带高压的单体，使得在有利于台风发生的热带海洋上空盛行基本东风气流。上层东、西风带中系統的重迭，与低层赤道辐合区附近的小扰动，是有利台风发生和发展的条件^[2]。副热带地区太平洋中部附近常定高空槽的存在，有利于冷空气和气旋性涡旋向低緯度輸送，引起热带扰动的发展加强^[3]。C. S. 賴馬棋^[6]強調太平洋中部常定高空槽的一次次再生，引起能量向下游（向西）的頻散过程，这类頻散过程能使地面赤道辐合区的气旋式扰动发展成热带气旋。

北半球的夏季，南半球为隆冬。南半球向着澳洲地区爆发的強寒潮，使南半球空气越过赤道侵入西太平洋，有利于赤道辐合区出現扰动。在9月份西风带已开始加強南移，副热带高压脊綫已南移至北緯 25° 附近，但这时台风的活动却仍象8月一样頻繁。李宪之^[7]曾将9月（尤其在9月初）南半球澳洲地区寒潮活动得最强，解释为其一个原因。上海中心气象台^[9]也指出南半球強烈的冷空气活动与西太平洋台风发生有一定联系。

表1 給出6—11月各月西太平洋台风发生最多的經度带和緯度带的統計位置。其中除6月份以外，台风发生最多的緯度带，随着季节变化向北、向南偏移。这种偏移与前述

表1 1884—1955年6—11月台风发生最多的緯度带和經度带

地區 \ 月份	6	7	8	9	10	11
緯度带(北緯)	$16^{\circ}—20^{\circ}$	$14^{\circ}—18^{\circ}$	$16^{\circ}—20^{\circ}$	$14^{\circ}—18^{\circ}$	$12^{\circ}—16^{\circ}$	$8^{\circ}—12^{\circ}$
經度带(东經)	$124^{\circ}—130^{\circ}$	$124^{\circ}—130^{\circ}$	$126^{\circ}—132^{\circ}$	$126^{\circ}—132^{\circ}$	$126^{\circ}—132^{\circ}$	$126^{\circ}—132^{\circ}$

西风急流的季节性位移是方向一致的。而各月台风发生最多的经度范围，则比较稳定。仅仅8月以后比8月以前稍微偏东一些。关于台风发生位置的统计，与所采用的资料有关系。1945年以后，飞机探测台风中心的方法被采用以来，台风中心的位置可以比较精确地确定，台风的源地亦可较早地被确定。但在上述的统计中采用了大量1945年以前的台风资料。这些台风源地基本上是依赖天气图上热带海洋中稀有的一些岛屿和船舶报告来确定的。因此实际台风发生的位置可能比资料所给出的偏东或偏南一些。最近，西格蒙德·弗累茨（Sigmund Fritz）^[10] 分析一次大西洋飓风卫星云图后，曾推断：如果有更多卫星资料可应用，不少飓风的发生可追溯到更东的地方。

三、各年西太平洋台风活动频数与大气环流的特征

西太平洋台风活动的频数，各年之间有很大的差异。1952—1957年各年各月西太平

表2 1952—1957年各月西太平洋(包括中国南海)的台风次数

月 次 年	1	2	3	4	5	6	7	8	9	10	11	12
1952					3	3	5	3	6	3	3	3
1953		1			1	2	1	6	4	4	2	1
1954			1		1		1	6	5	4	3	1
1955	1		1	1		3	6	8	3	2	1	1
1956			1	1		1	2	5	6	1	3	1
1957	2			1	1	1	1	4	5	4	3	

洋(包括我国南海)台风次数如表2所示。由表中可以看出，在不同年份的相同月份，台风的活动相差很明显。例如在台风活动频繁的月份，不同年份的台风次数多寡可相差一倍以上。由上节表明，台风活动的季节变化与大范围环流特征的变化有密切联系。那末，在不同年份的相同季节，台风活动很多和台风活动稀少，在相应的环流特征上亦应有明显的差异。为此，首先选择台风影响我国多的月份——7月和8月，对7月和8月中台风活动多和少的年份的环流特征作对比分析。在1952—1957年的这几年中，7月和8月台风活动多的是1955年，分别是6次和8次；7月份台风较少的是1954年，仅1次；8月份台风少的是1957年，4次。图5—8给出上述年份和月份的500毫巴平均气压形势和高度距平图。1954年7月(图5)500毫巴环流的特征，从副热带高压脊线的位置可以反映出来。该月西太平洋副热带高压脊线位于北纬20°附近，相当于往年6月的情况。中纬度月平均等高线分布属于预报员所熟悉的梅雨形势。东亚上空高度距平的分布呈南负北正的型式，中纬度地带为正距平区域，这是由于在苏联滨海区和我国东北部经常有阻塞高压出现。在北纬40°以南的东亚副热带范围是负距平区域。这片负距平区域与江淮流域上空活动非常频繁的低槽相联系。在东亚和西太平洋地区，由于中纬度出现正距平，副热带范围出现负距平，所以使西风带的位置较历年偏南。这一点可从西太平洋500毫巴平均地转西风风速的廓线上，明显地看出来(图9)。7月份多年平均500毫巴西风急流轴位置在

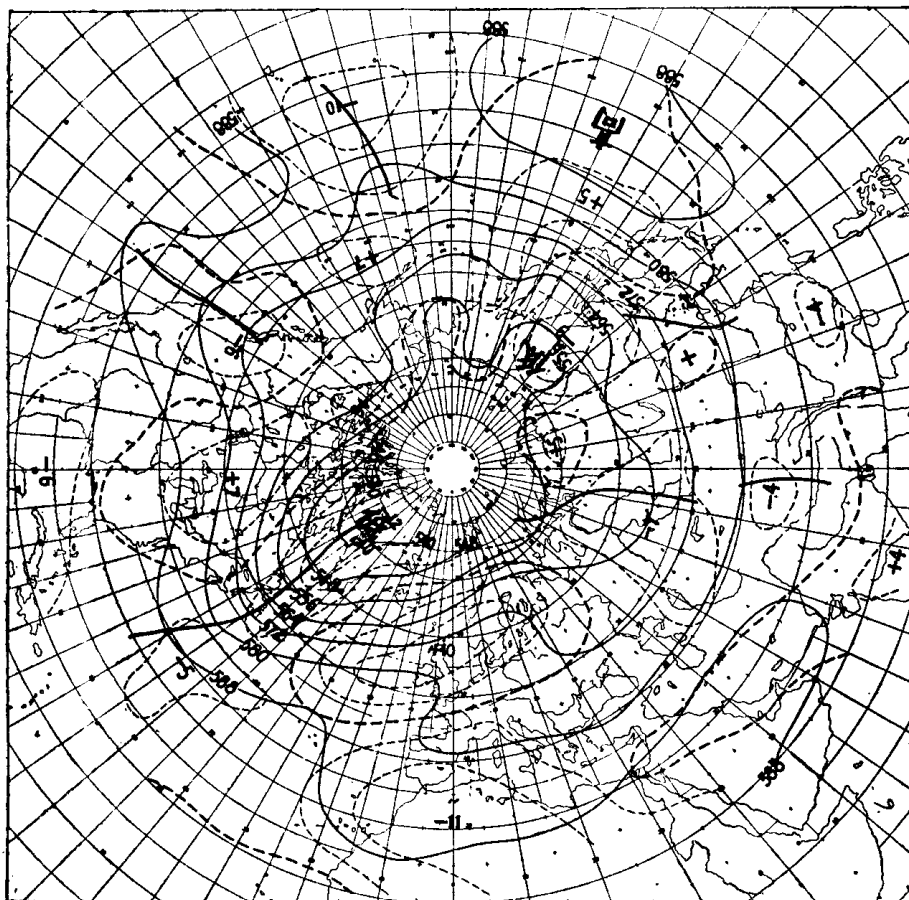


图 6 1955 年 7 月 500 毫巴平均形势及高度距平图
(說明 同 圖 5)

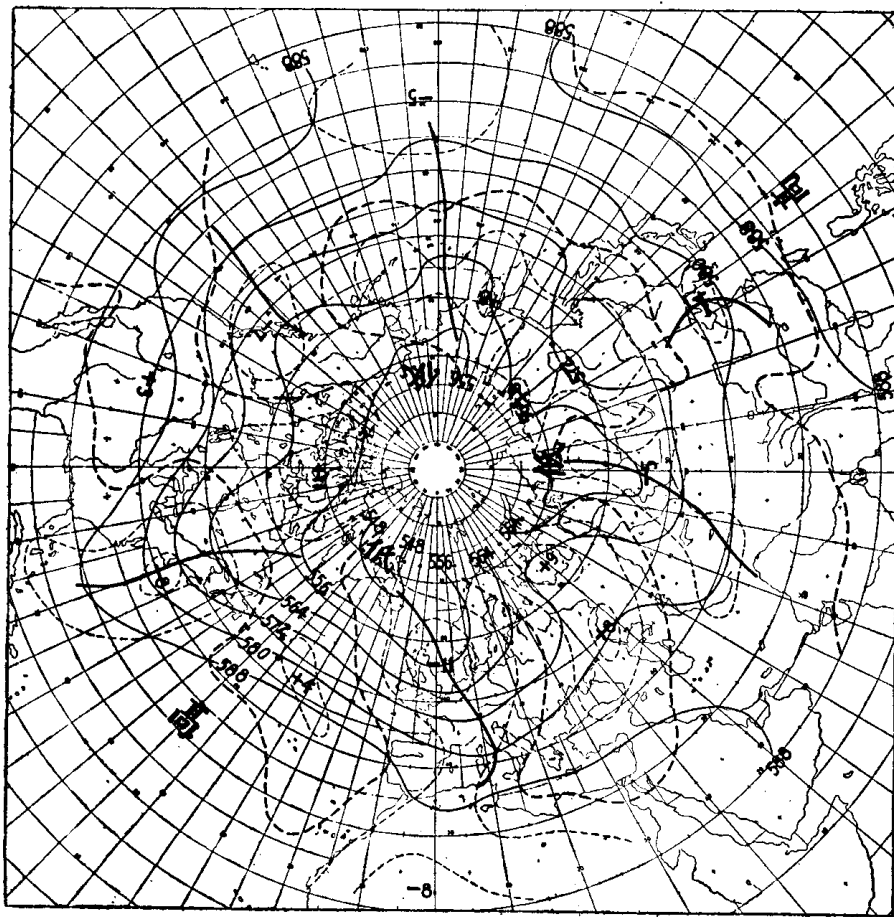


图 5 1954 年 7 月 500 毫巴平均形势及高度距平图
(細實線——等高線，間隔 80 位勢米；細斷線——等距平線，間隔 40 位勢米；
粗實線——平均槽；粗斷線——零距平線)

圖 8 1957 年 8 月 500 毫巴平均形勢及高度距平圖
(說明 同 圖 5)

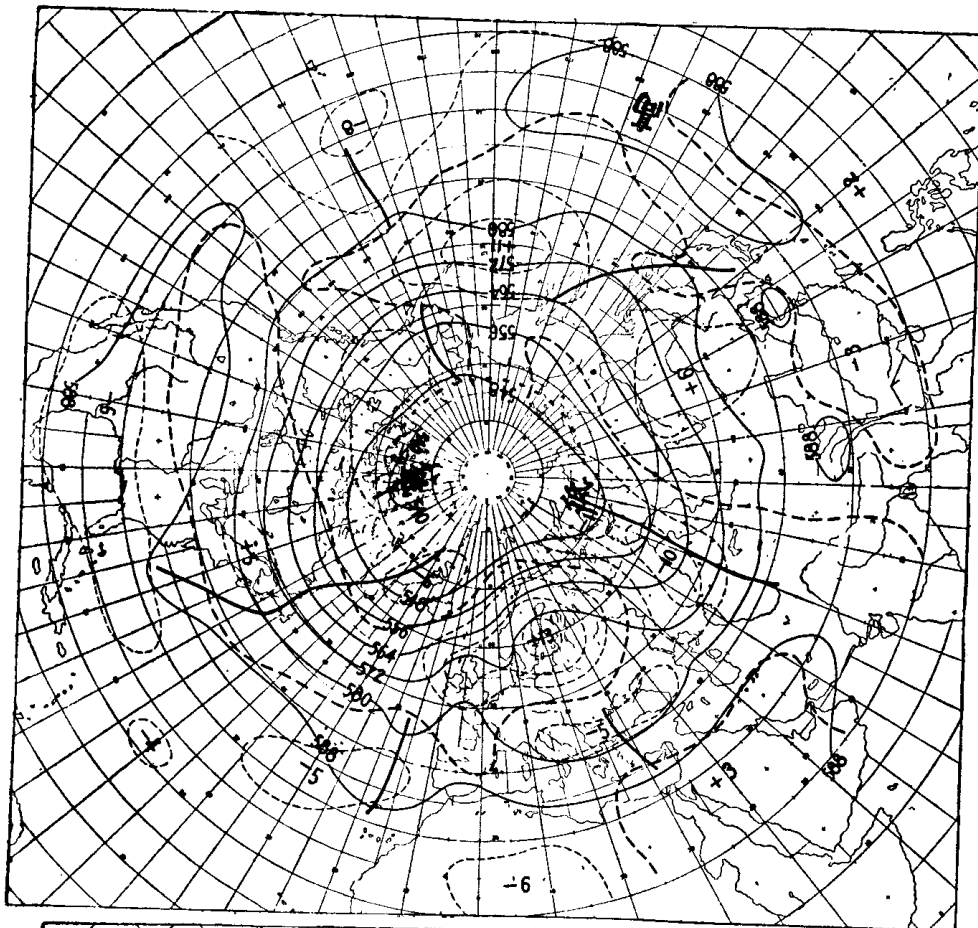
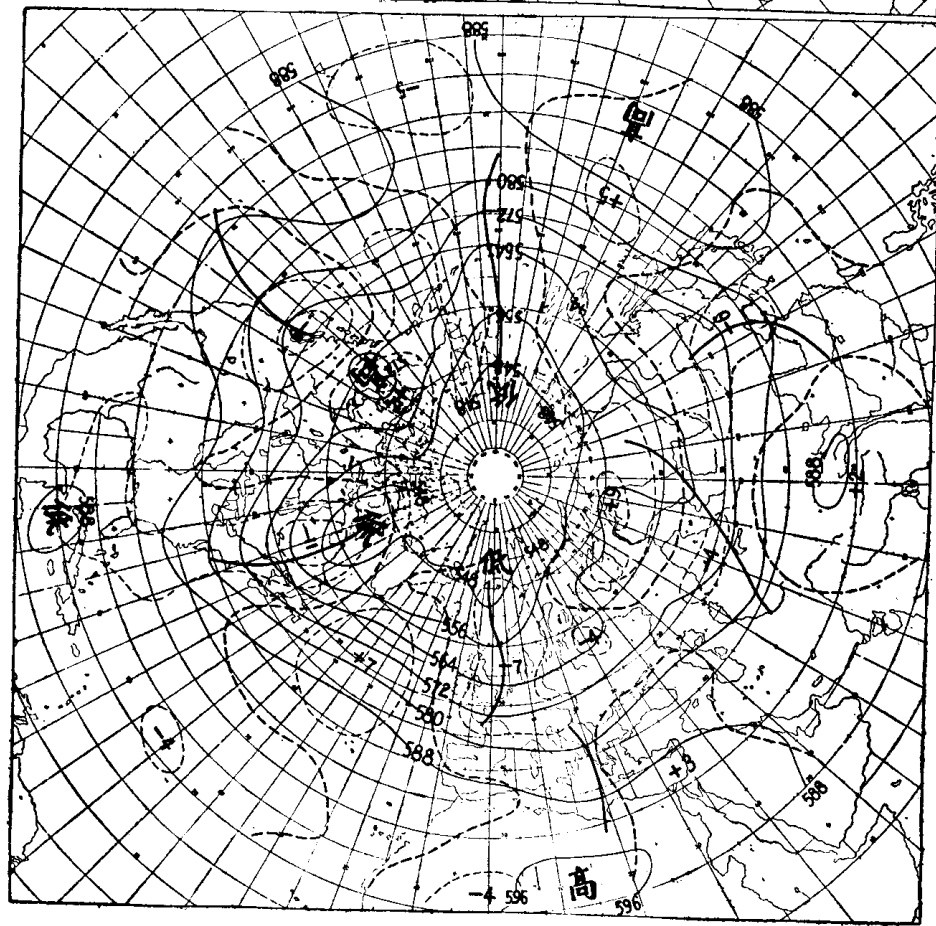


圖 7 1955 年 8 月 500 毫巴平均形勢及高度距平圖
(說明 同 圖 5)



北緯 42.5° ，而 1954 年 7 月西风急流位于北緯 32.5° ，比多年平均位置偏南 10 个緯度。所以在該年 7 月，西太平洋副热带范围仍处于中緯度西风环流之下。在整个中緯度

地带，高度距平的分布，呈现出沿緯圈方向正负相間排列的型式。北大西洋中部、烏拉尔山附近、亚洲东海岸及北美大陆是正距平和平均脊线的所在地，其間是负距平和槽线的所在地。这种月平均环流特征表示出在北半球中緯度地区經向环流盛行；而且在欧亚上空，烏拉尔高压稳定，西部西伯利亚出現強烈的西北气流，使冷空气源源向南爆发。由于这种稳定的高空长波形势，使

图 9 台风多(实线)与台风少(虚线)的月份西太平洋地区
(东經 100° — 180°) 500 毫巴緯圈平均地轉西风风速廓线

1954 年我国长江流域的梅雨持续到 7 月底，造成江淮地区严重的水灾。1931 年 7 月长江流域也曾出现过严重的水灾，該年 7 月环流的主要特征与 1954 年 7 月很相似，在西太平洋上亦只有一次台风活动。1957 年 7 月台风活动亦很少(1 次)，該月环流的特点与 1954 年 7 月也有很多相似。陶詩言、徐淑英、郭其蘊^[11] 曾分析了 1957 年 7 月低緯度环流的特点。

1955 年 7 月台风活动很多，該月环流的特点(图 6)与 1954 年 7 月有显著差异。在整个中高緯地带，在这两年槽、脊的位相近乎相反。北大西洋中部是一明显的低槽，烏拉尔山附近出现负距平，在我国东北和苏联东部滨海地区上空成为负距平和低槽的所在地，而在 1954 年 7 月这些地区却是正距平和高压脊的所在。类似的情况亦出现在其他许多地区。和台风活动联系得更直接一些的是东亚和西太平洋上空的偏距分布。1955 年 7 月在副热带范围是正距平，而在北緯 45° 以北的中高緯度出现一强的负距平区域，位相恰好与 1954 年 7 月相反。这种型式的偏距分布，表示該月該区 500 毫巴西风急流比历年偏北，而且强烈。从图 9 可以看出，1955 年 7 月西太平洋地区 500 毫巴最强平均地轉西风出现在北緯 45° ，較多年平均位置偏北 2.5 个緯度，且其风速超过多年平均值很多(多年平均 9 米/秒)。与 1954 年 7 月对比，1955 年 7 月副热带环流另一个明显特点是太平洋中部常定槽偏东，而且比往年加深。这些特点提供了有利于台风发生、发展的环流条件。

1955 年 8 月和 1957 年 8 月台风活动也有很大差异(表 2)。从这两年西太平洋地区 500 毫巴的西风廓线表明，1955 年 8 月最大西风位于北緯 55° ，而在 1957 年 8 月最大西风则位于北緯 45° ，即台风多的 1955 年 8 月比台风少的 1957 年 8 月偏北达 10 个緯度。多年平均 8 月份最大西风位于北緯 45° ，所以 1955 年 8 月較平均情况偏北，而 1957 年 8 月与平均情况相近。在月平均环流形势上，两者的差异也很明显。在 1957 年 8 月，中高緯度經向环流占优势，距平的分布呈现正负区相間排列的特点，北大西洋中部，烏拉山北

部附近,苏联东部滨海地区等处是平均脊和正距平区(图7)。在东亚大陆上空,大致以北緯 50° 为界,南边是负距平区,北边是正距平区;我国上空成为低槽活动频繁的区域,环流特点接近“梅雨形势”。从西风急流偏南、中緯度經向环流盛行和主要槽、脊位置的分布特点来看,1957年8月与1954年7月大气环流的基本特征是十分相似的。同样可以看出,1955年8月和1955年7月两个台风多的不同月份,它們的基本环流亦有很多相似之处,而与1957年8月相差甚大。在1955年8月的500毫巴形势图上(图8),正距平或者负距平皆出現沿着緯圈呈带状分布的趋势,因此相对地緯向环流占优势。在亚洲和太平洋上空,中緯度范围出現正距平,副热带范围出現负距平,使西风带的位置偏北,但势力有所減弱。主要槽脊的分布与前述1955年7月相近,西欧上空为稳定的高压脊,烏拉山处在高空槽的后部,为负距平的区域,貝加尔湖附近是正距平和平均脊的所在,太平洋中部偏东的副热带范围亦出現一明显的低槽。其它地区亦有同样的特点。

从上面的对比分析可以看出,在西太平洋台风活动多和少的时期,北半球对流层中部的环流分别具有一定的特征。但这个結論是否有代表性呢?为了解决这个問題,查閱了台风活动多的9月和台风活动少的9月的环流特点,結果与7,8月的情况基本一致。在此基础上,将1952—1957年中台风活动多的7月,8月和9月的500毫巴气压形势和距平进行了平均,得出夏秋季(7,8,9月)台风活动頻繁的500毫巴平均气压形势和距平图(图10)。同样,可得出夏秋季(7,8,9月)台风活动稀少的500毫巴平均气压形势和距平图(图11)。由于本文分析仅有六年的資料,如果仅就某一个月的环流特征而言,代表性受到很大限制。而在进行上述平均之后得出的环流特点,代表性可能大一些。从图10和图11可以概括出在夏秋季(7,8,9月)台风活动多和活动少的时期,北半球500毫巴环流的主要特征如下:

(1) 在台风活动多的月份,中緯度地区盛行緯向气流。正或负的距平区呈現沿着緯圈带分布的趋势,亚洲及西太平洋上空副热带和中緯度正距平占明显优势,高緯是负距平区。相应地,在东亚及西太平洋上空,低緯西风比平均減弱,在中高緯西风增强,最大西风的位置偏北;西太平洋副热带高压脊綫相应北移(图12)。西欧上空的正距平,东部西伯利亚的负距平及阿拉斯加南方海洋上的正距平是本类环流的特征,这大致表示出平均槽脊分布的特点。

(2) 在台风活动少的月份,中、高緯度地区經向环流占优势。距平的分布沿着緯圈呈現正负相間的排列型式。平均槽脊的位相与台风多的月份差不多相反。西欧上空是強的负距平区和槽的所在,烏拉山附近是明显的高压脊,巴尔喀什湖附近是一个很深的低槽,东部西伯利亚上空成为正距平和高压脊的所在。东亚和西太平洋上空的环流特征很象“梅雨形势”,中低緯度地带负距平占优势,中高緯度地区是正距平。相应地最大西风和副热带高压脊綫的位置比較偏南(图12)。

对不同的年份之間的比較,台风多的7,8,9月和台风少的7,8,9月北半球500毫巴环流(尤其在中高緯度)之間有着明显而确定的差异。在第2节中曾討論了环流季节性

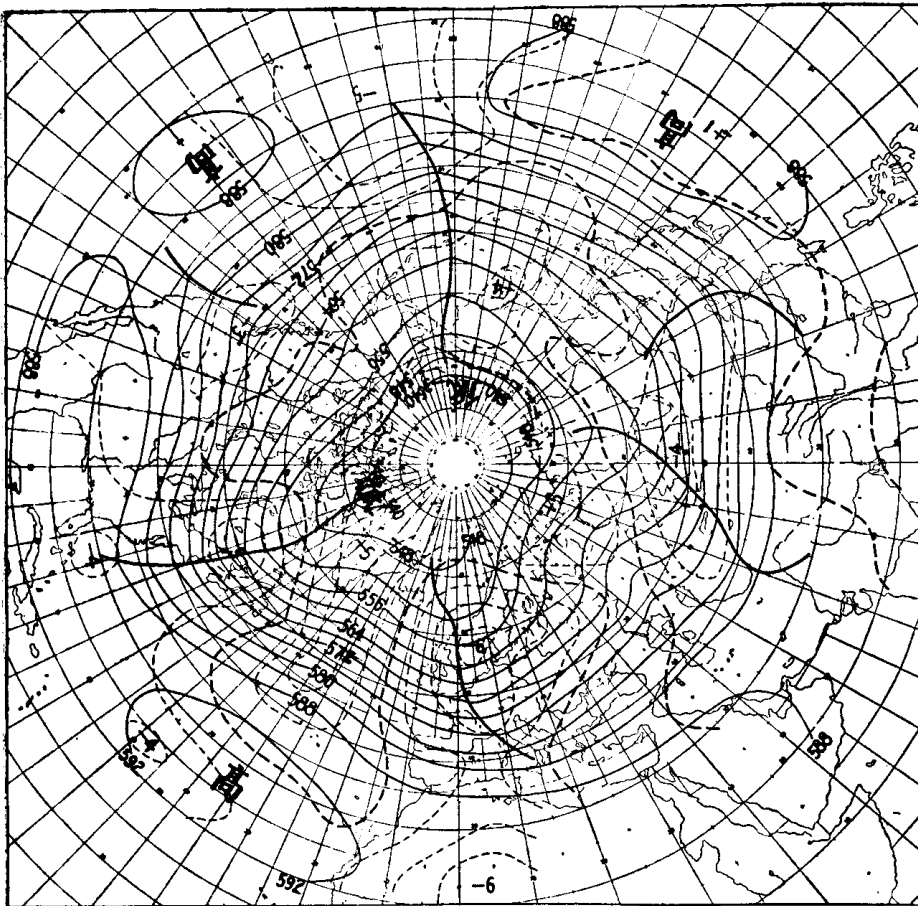


图 11 台风活动少的 7、8、9 月的 500 毫巴平均气压形势和距平图
(說明 同 图 11)

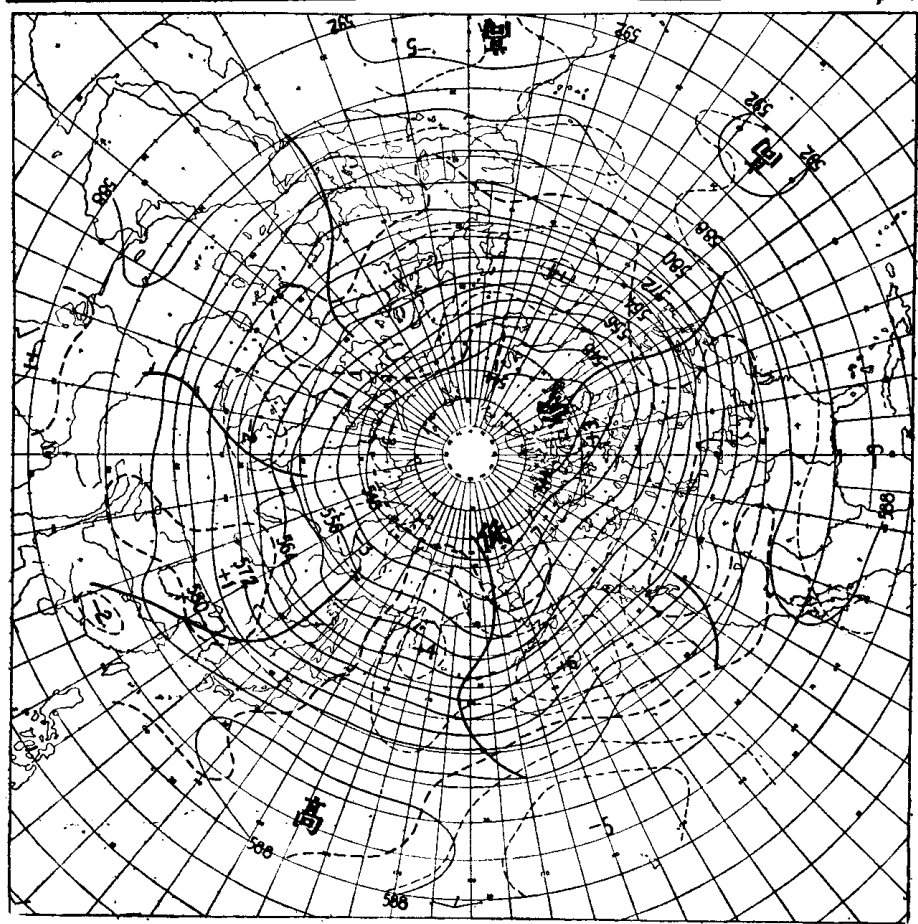


图 10 台风活动多的 7、8、9 月的 500 毫巴平均气压形势和距平图
(等高线间隔 40 位势米, 等高度距平线间隔 20 位势米; 其他说明同图 5)

变化与台风活动多少的变化之間的联系，亦即是台风活动多的夏秋季与台风活动少的冬春季之間环流的差异。将以上两个角度的分析結果作一对照，可得出一个很有意义的事实。台风活动多的7, 8, 9月的环流基本特点类似多年平均9月份的环流特点（按多年平均一年中9月份台风发生近于最多）；台风活动少的7, 8, 9月则相似于多年平均2月的情况（2月份台风发生近于最少）。图13給出以上比較的四种情况的中高緯度的平均500毫巴高度廓綫。很明显，就长波型式而論，I与II属于一类，III与IV属于另一类。在多年平均的2月和台风少的7, 8, 9月，深厚的槽、脊皆有三对，其中西欧和烏拉尔山附近皆有一对明显的槽脊。在多年平均的9月和台风多的7, 8, 9月，十分深厚的槽脊皆为两对，在西欧和烏拉尔山附近，是一些在大而厚的高压脊

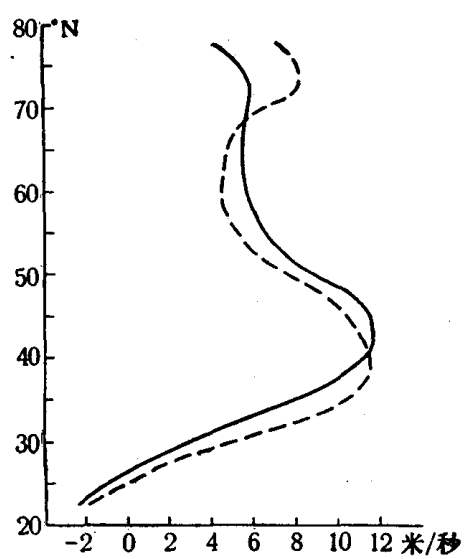


图 12 西太平洋(东經 100° — 180°)

緯圈平均地轉西风风速廓綫

(实綫——台风活动多的月份,根据图10;
虚綫——台风活动少的月份,根据图11)

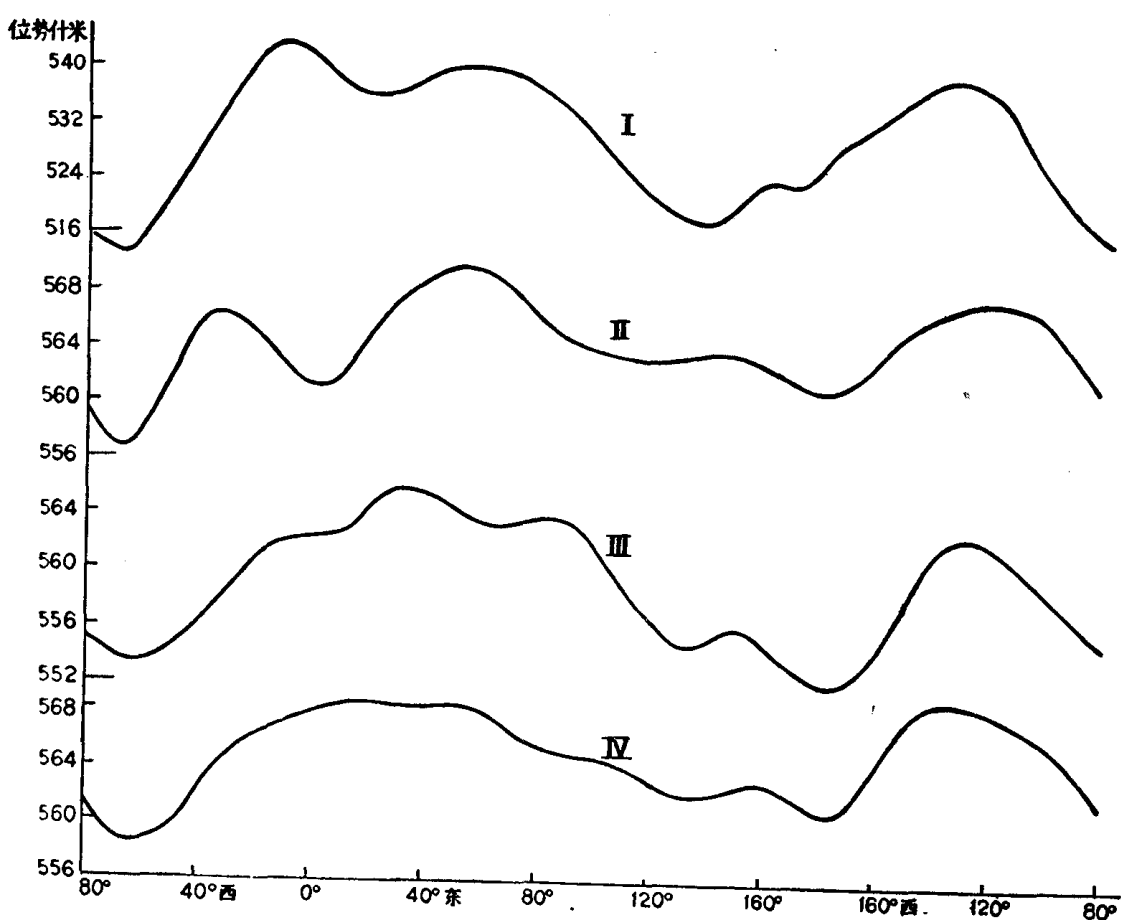


图 13 中高緯度(45° — 65° N) 平均 500 毫巴高度廓綫

(I——多年2月平均; II——台风活动少的7, 8, 9月平均; III——多年9月平均;
IV——台风活动多的7, 8, 9月平均)